

成層流体中の球の沈没運動

ヒスト異摺動法

東大 生研

成瀬 文雄

§1. あらまし

重力方向に密度が変化する成層流体中で物体がすくとさの流れを、(i) 定常、(ii) 非圧縮 (iii) 热又は濃度の非拡散、(iv) Boussinesq 近似を仮定して取扱い、以下のことが示される。

(a) 静止状態で密度 P が $P/P_0 = 1 - k_1 y^n$ の如く変化していける非圧縮流体がある。この中で対称物体(物体の形が x, y, z に同じ)、これを

れ対称、例えば橢円体の
如き物体) 加 x 軸上です
るが正の奇数故、 $n > 0$ でされば
すもとき、物体に働く力
は x 方向たりである。(

Fig. 1 参照)

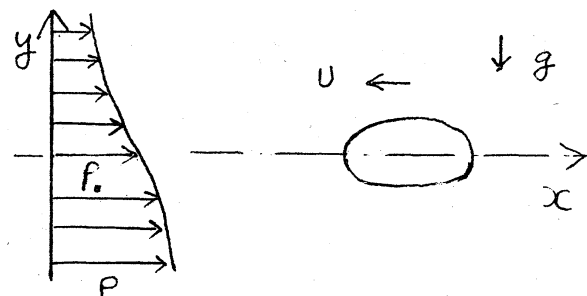


Fig. 1

(b) 静止状態での密度 P が $P/F_0 = 1 - k_1 y$ で表示される流

(1)

体中を、半径 a の球があそい速度 U ですすむときの運動を
特異運動法で解析し、球に働く抵抗を決定した。

§2. 基礎方程式

溶質の濃度が変化するため密度が変化する非圧縮流体を考
えよ。溶質の濃度を γ とするととき、 P と γ の間に次式が成立
す。

$$\rho = \rho_0 \{ 1 + \alpha (\gamma - \gamma_0) \} \quad (1)$$

今溶質の濃度の非拡散を仮定するととき、流線について $\gamma =$
一定であり、これは (1) より流線について $P =$ 一定となる。
したがって基礎方程式¹⁾は

$$\rho \frac{D\dot{\gamma}}{Dt} = - \nabla P + \mu \Delta \dot{\gamma} + P \times \quad (2)$$

$$\frac{\partial P}{\partial t} + \nabla \cdot (P \dot{\gamma}) = 0 \quad (3)$$

$$\frac{D P}{Dt} = 0 \quad (4)$$

ここで $\frac{D}{Dt} = \frac{\partial}{\partial t} + \dot{\gamma} \cdot \nabla$, $\dot{\gamma}$ は速度、 P は圧力、 μ は
粘性係数、 \times は体積力を表す。

(2) ~ (4) の式は、大気のままな密度変化のある気体に対する
とき、非圧縮を仮定できるままである流れであれば、やはり成立
する。

$$\text{今 } \frac{P}{P_0} = 1 - \beta y^n + p^*, \quad \frac{P}{P_0} = \frac{P_0}{P_0} + (\gamma_{n+1}) g \beta y^{n+1} + p^*$$

(2)

で、 P' , \bar{P} を導入、 $\bar{x} = -g\hat{y}$ (g は重力の加速度、 \hat{y} は y 方向の単位ベクトル) とおいて、Boussinesq 近似とするとき、

(2) ~ (4) 式は次の如くなる。

$$\frac{D \bar{q}_b}{Dt} = -\nabla \bar{p}' + \nu \Delta \bar{q}_b - P' g \hat{y} \quad (5)$$

$$\nabla \cdot \bar{q}_b = 0 \quad (6)$$

$$\frac{D \bar{P}'}{Dt} - n \bar{k} y^{n-1} \bar{q}_b \cdot \hat{y} = 0 \quad (7)$$

次式で無次元変数 \bar{q}_b , \bar{p} , ... を導入すると

$$\frac{\bar{q}_b}{\bar{v}} = \bar{q}_b(\bar{u}, \bar{v}, \bar{w}), \quad \frac{\alpha P_0 \bar{p}'}{\bar{v} \mu} = \bar{p}, \quad \frac{\bar{P}'}{n \bar{a}^n \bar{k}} = \bar{P}, \quad \frac{1r}{\bar{a}} = \bar{r}(\bar{x}, \bar{y}, \bar{z}), \quad (8)$$

(5) ~ (7) 式は、次の如くなる。

$$R_e \bar{q}_b \cdot \bar{\nabla} \bar{q}_b = -\bar{\nabla} \bar{p} - B R_e \bar{P} \hat{y} + \bar{\Delta} \bar{q}_b \quad (9)$$

$$\bar{\nabla} \cdot \bar{q}_b = 0 \quad (10)$$

$$\bar{q}_b \cdot \bar{\nabla} \bar{p} - \bar{v} \bar{y}^{n-1} = 0 \quad (11)$$

$$\therefore \text{で} \quad R_e = \frac{v a P_0}{\mu}, \quad B = \frac{g a^2 \bar{k}}{v^2} \quad (12)$$

($B^{\frac{1}{2}}$ を Russell number とすると $n=1$ の場合 $B^{\frac{1}{2}} = 2$)
境界条件は

$$\bar{r} \rightarrow \infty \quad \left. \begin{cases} \bar{q}_b = 0 \\ \bar{p} = \bar{P} = 0 \end{cases} \right\}; \quad \text{物体表面上で} \quad \bar{q}_b = 0 \quad (13)$$

§3. 物体に働く力 \rightarrow は

(3)

静止状態での密度 ρ が $\rho = \rho_0(1 - \log y^n)$ で表示される成層流体中で、対称物体（物体の形が x, y, z に同じ対称）があるときを、物体に固定した座標系で考える。

(i) 物理的考察

まず物体に働く力を
について物理的に考
えよう。簡単の
ため Fig. 2 の如く
 $n=1$, $\alpha > 0$ の場合を
考える。A, B にある

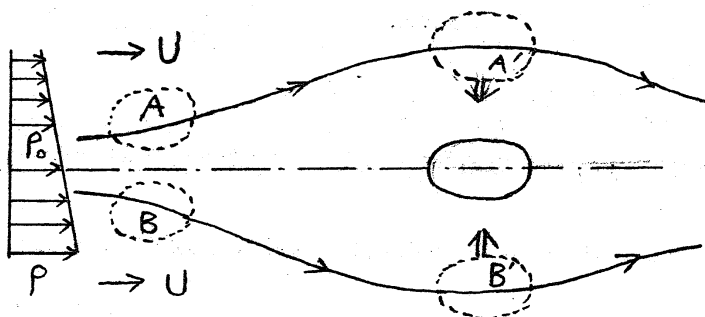


Fig. 2

3 流体塊は流線に沿って動き A' , B' の位置に到達したとする。
このとき A' の流体塊は浮力のため下向きの力を、又 B' の流体塊は浮力のため上向きの力をうけ、矢印の方向に運動をするこ
とである。 A' , B' の流体塊は、大きさは同じで、方向は逆
の力をうけるが、この流体塊の運動を支配する因子は、この
他 A' , B' の質量とその付近の粘性係数である。

しかし Boussinesq 近似 A' , B' の質量とその付近の粘性係
数を同一とみなして解く近似であるから、Boussinesq 近似で
取扱う限りにおいて、 A' , B' の流体塊は $y=0$ の面に沿って対
称に矢印の方向に運動するである。この運動のため物体周
辺の流体は x 方向の流速をまし、したがって物体の抵抗は増

加する。しかも流れの対称性から揚力は働く。

以上の議論はそれが正の奇整故、 $\lambda > 0$ である場合にも全く同様に成立するから、この場合にも抵抗および揚力に同じ結論が得られる。

(ii) 別の方法による考察

次に物体に働く力をつけて、別の方法で考えて見よう。まづはじめに、密度が一様な流体が Navier - Stokes 方程式にしたがって、対称物体のまわりを流れる場合を見て見よう。さてこの流れが下にかかる Type 1 や Type 2 の対称性をもつ 2 つの流れだけで構成されることは示す。

Type 1 の流れ： Fig. 3 a で示されるように流れ、すなわち Stokes 近似のとき現われる流れで、対称性は次の形を持つ。

$\bar{u} : (x^0, y^0, z^0)$, $\bar{v} : (x^1, y^1, z^0)$, $\bar{w} : (x^1, y^0, z^1)$, $\bar{p} : (x^1, y^0, z^0)$,
 ; ; ; suffix 0 は偏心故、suffix 1 は奇正故を表かす。この type の速度、圧力を V_1, P_1 を表かす。

Type 2 の流れ： Fig. 3 b で示されるように、対称な流れで、この対称性は次の型を持つ。

$\bar{u} : (x^1, y^0, z^0)$, $\bar{v} : (x^0, y^1, z^0)$, $\bar{w} : (x^0, y^0, z^1)$, $\bar{p} : (x^0, y^0, z^0)$
 この type の速度、圧力を V_2, P_2 を表かす。

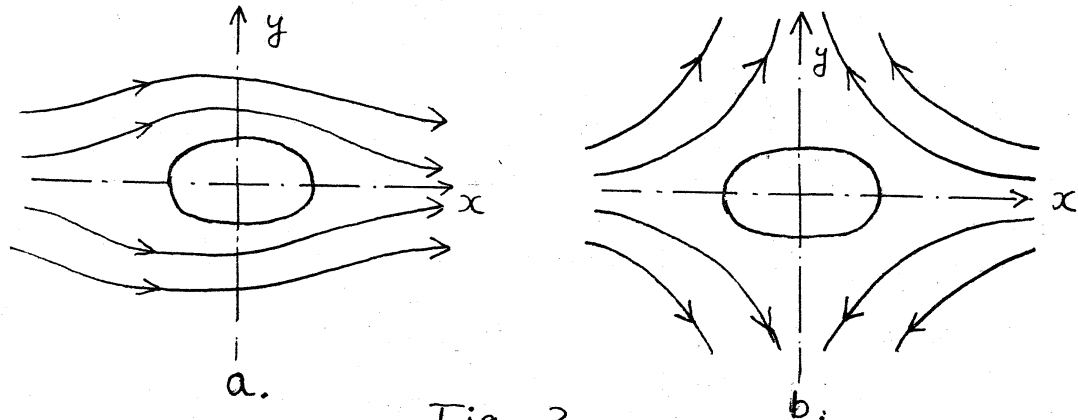


Fig. 3

さて $N-S$ 方程式の non-linear 項 $\bar{q} \cdot \bar{\nabla} \bar{q}$ やりのよう
な対称性をもつ流れが“ $\bar{q} \cdot \bar{\nabla} \bar{q}$ ”あるところ。それを知るため
には $V_1 \cdot \nabla V_1$, $V_1 \cdot \nabla V_2$, $V_2 \cdot \nabla V_1$, $V_2 \cdot \nabla V_2$ のベクトルの対
称性を調べて見ればよい。この結果、これらの項は互に
 V_1 又は V_2 と同じ対称性をもつことが分る。したがって
 $N-S$ 方程式は、さきに仮定されたよしを境界条件のとて
は、Type 1 と Type 2 の流れだけで矛盾なく構成されることが
分かる。

さて図 3 のはいめたのべられた成層流体の場合に話をそむ
く。この場合には (9) ~ (11) の方程式系に従って考へればよ
う。そのためには Type 1 の流れの \bar{P} として (x^0, y^0, z^0) の対称性
を、又 Type 2 の流れの \bar{P} として (x^1, y^1, z^1) の対称性を仮定し
よう。このとき $N-S$ 方程式の場合と同様に、 $\bar{q} \cdot \bar{\nabla} \bar{q}$, $\bar{q} \cdot \bar{\nabla} \bar{P}$,
 $\bar{q} \bar{q}^{n-1}$ の対称性を調べて、それが正の奇整数であるときは、
Type 1 または Type 2 の流れだけで矛盾なく構成されるこ

ヒを確めることがでます。したがつてこの場合も、前述のように境界条件のまゝでは、やはり Type 1 もまた Type 2 の流れによつて構成されることが分子。

さて Type 2 の流れは対称性によつて物体に力は及ばずなく、又 Type 1 の流れからは抵抗を生ずることを知るこヒができるから、以上の結果は、物体に揚力が働くか否かという前記の物理的考察の結果と一緒にしてゐる。

§4. 特異擾動法による球のまわりの流れの解

いまは静止状態での密度が $\rho = \rho_0(1 - k_2 y)$ であり、かつ対称物体が半径 a の球である場合を序す。 (9) ~ (12) によつて支配される流れは、 Re 、 B の大きさによつて種々変化すると思われるが、以下においては $Re \ll 1$ 、 $BRe \ll 1$ の場合を序す。今取扱いの便宜上 $B = \alpha R_e^m$ とおき、特異擾動法による展開の第 1 近似を求めるこにする。

(i) inner expansion

オセーション近似で予想されますに、inner solution の成立する領域は $O(1)$ の範囲であり、第 0 近似は Stokes の解と序される³⁾。これに従う解を R_e^ϵ の order と仮定し、 \bar{v} 、 \bar{p} 、 \bar{r} 、 $\bar{\rho}$ と R_e^ϵ で展開する。ここで ϵ は outer solution との matching たり決定される。

$$\begin{aligned}\bar{\theta} &= \theta_0(r) + R_e^\epsilon \theta_1(r) + \dots, \quad \bar{P} = P_0(r) + R_e^\epsilon P_1(r) + \dots \\ \bar{U} &= U_0(r) + R_e^\epsilon U_1(r) + \dots, \quad \bar{P} = P_0(r) + R_e^\epsilon P_1(r) + \dots \\ \bar{r} &= r\end{aligned}\left.\right\}\quad (14)$$

(14) エ (9) ~ (11) を代入し、境界条件 (13) を考慮すれば、 θ_0 、

P_0 に対する方程式および境界条件は

$$\Delta \theta_0 - \nabla P_0 = 0 \quad (15)$$

$$\nabla \cdot \theta_0 = 0 \quad (16)$$

$$\text{at } r=1, \theta_0=0; \quad \text{at } r \rightarrow \infty, \theta_0 = \bar{\theta}, \quad P_0 = 0 \quad (17)$$

又 θ_1, P_1 に対する方程式および境界条件は

$$\Delta \theta_1 - \nabla P_1 = R_e^{1-\epsilon} \theta_0 \cdot \nabla \theta_0 + R_e^{m+1-\epsilon} \times P_1 \quad (18)$$

$$\nabla \cdot \theta_1 = 0 \quad (19)$$

$$\theta_0 \cdot \nabla P_1 - U_0 = 0 \quad (20)$$

at $r=1, \theta_1=0; \quad \text{at } r \rightarrow \infty, \theta_1, P_1, P_1$ は outer solution
との matching を考慮して決定される。
 $\int_{(21)}$

(ii) outer expansion

outer solution の成り立つ領域を $O(R_e^{-\nu})$ とする。又早
く近似は一様流 \bar{U} 、これから $\bar{\theta}$ の \bar{r} での \bar{r} 展開する。

$$\begin{aligned}\bar{\theta} &= \bar{\theta} + R_e^\beta \theta'_1(\bar{r}') + \dots, \quad \bar{P} = R_e^\sigma P'_1(\bar{r}') + \dots \\ \bar{P} &= R_e^\delta P'_1(\bar{r}') + \dots, \quad \bar{U} = R_e^\beta U'_1(\bar{r}') + \dots \\ R_e^\nu \bar{r} &= \bar{r}'\end{aligned}\left.\right\}\quad (22)$$

ここで $\beta, \sigma, \delta, \nu$ は未定の定数である。

(8)

(22) エ (9) ~ (11) は $\nabla \cdot \lambda \perp z$, 境界条件 (13) エ 平 $\perp z$

$$\Delta' q'_1 = R_e^{\delta-\nu-\beta} \nabla' p'_1 - \alpha R_e^{m+1+\delta-\beta-2\nu} p'_1 f - R_e^{1-\nu} \frac{\partial q'_1}{\partial x}, \quad (23)$$

$$\nabla' \cdot q'_1 = 0 \quad (24)$$

$$\frac{\partial p'_1}{\partial x'} = R_e^{\beta-\nu-\delta} v'_1 \quad (25)$$

$$\text{at } r \rightarrow \infty, \quad q'_1 = p'_1 = p'_r = 0;$$

at $r \rightarrow 0$, q'_1, p'_1 は inner solution q_0, p_0 の matching
により決定される。 (26)

この matching 条件を満たすためには、 $r \rightarrow \infty$ での q_0, p_0 の
解の性質を知る必要がある。 $(15) \sim (17)$ の解は Stokes の解と
して知られるので、 $r \rightarrow \infty$ のとき次の形で \rightarrow 。

$$\left. \begin{aligned} q_0 &\sim \hat{u} - \frac{3}{4} \left(\frac{1}{r} + \frac{x^2}{r^3} \right) \hat{u} - \frac{3}{4} \frac{x \hat{y}}{r^3} \hat{y} - \frac{3}{4} \frac{x \hat{z}}{r^3} \hat{h} \\ p_0 &\sim -\frac{3}{2} \frac{x}{r^3} \end{aligned} \right\} \quad (27)$$

$\hat{u}, \hat{y}, \hat{h}$ は x, y, z 方向の単位ベクトルである。

$r \rightarrow 0$ のとき、 q'_1, p'_1 は (26) の形をもたねばならないから

$$\beta = \nu, \quad \tau = 2\nu \quad (28)$$

又 (25) より

$$\tau = 0 \quad (29)$$

又 (23) の浮力の項と粘性項のバランスを考慮すると

$$\nu = (m+1)/3 \quad (30)$$

したがって $0 < \nu \leq 1$ かつ $\tau = 1$ は (23), (25) は

(9)

$$\Delta' \tilde{q}_i' - \nabla' p_i' - \alpha f_i' \hat{f} = R_e^{1-\nu} \frac{\partial \tilde{q}_i'}{\partial x}, \quad (31)$$

$$\frac{\partial p_i'}{\partial x} = v_i' \quad (32)$$

今簡単のために、以下にちつては、 $0 < \nu < 1$ 、すなはち、

$-1 < m < 2$ のときを考えよう。このとき

$$\hat{r} = \alpha^{\frac{1}{3}} r', \quad \hat{q}_i = \alpha^{-\frac{1}{3}} q_i', \quad \hat{p} = \alpha^{\frac{-2}{3}} p_i', \quad \hat{f} = f_i' \quad (33)$$

とする。 (31), (32), (24) は

$$\hat{\Delta} \hat{q}_i - \hat{\nabla} \hat{p} - \hat{P} \hat{f} = 0 \quad (34)$$

$$\hat{\nabla} \cdot \hat{q}_i = 0 \quad (35)$$

$$\frac{\partial \hat{p}}{\partial \hat{x}} = \hat{v} \quad (36)$$

境界条件は

$$\text{at } \hat{r} \rightarrow \infty, \quad \hat{q}_i = \hat{p} = \hat{f} = 0 \quad (37)$$

$$\text{at } \hat{r} \rightarrow 0, \quad \begin{aligned} \hat{q}_i &\sim -\frac{3}{4} \left(\frac{1}{\hat{r}} + \frac{\hat{x}^2}{\hat{r}^3} \right) \hat{u} - \frac{3}{4} \frac{\hat{x} \hat{y}}{\hat{r}^3} \hat{g} - \frac{3}{4} \frac{\hat{x} \hat{z}}{\hat{r}^3} \hat{f} \\ \hat{p} &\sim -\frac{3}{2} \frac{\hat{x}}{\hat{r}^3} \end{aligned} \quad \left. \right\} (38)$$

(iii) 解

[I] outer expansion の第1近似

境界条件 (37), (38) を満足する (34) ~ (36) の解を解析的に求めることとする。しかし全体の解の様子が分からず、 $\hat{r} \rightarrow 0$ の付近の解の性質が“分かれ”、inner solution

(10)

θ_1, ρ_1 の境界条件がえまり、 θ_1, ρ_1 をえらべてかでえられた
球に働く力を決定された。

以下において、 $r - \text{リ} \rightarrow 0$ の $\hat{\theta}, \hat{\rho}, \hat{P}$
の解の性質を調べてみる。⁴⁾

$\hat{\theta}, \hat{\rho}, \hat{P}$ の $r - \text{リ} \rightarrow 0$ の解の性質を次式の如く、 Q, P, Λ とおき

$$Q(r_k) = \int e^{-ik_r r} \hat{\theta} dr, \quad P(r_k) = \int e^{-ik_r r} \hat{\rho} dr \quad \left. \right\} (39)$$

$$\Lambda(r_k) = \int e^{-ik_r r} \hat{P} dr, \quad Q(r_k) = Q_1(r_k) i + Q_2(r_k) j + Q_3(r_k) k$$

境界条件 (38) を満たす解を求めるには、(34) の式の左側

$$\Delta \hat{\theta} - \nabla \hat{\rho} - \hat{P} j = 6\pi \delta(r) \delta \quad (34')$$

を用い、(34'), (35), (36) の $r - \text{リ} \rightarrow 0$ の解を用いて、

$$k^2 Q + ik_r P + \Lambda j = -6\pi \delta \quad \left. \right\} (40)$$

$$ik_r \cdot Q = 0, \quad ik_r \cdot \Lambda = Q \cdot j$$

(40) を用いて

$$Q = \frac{6\pi (k_1 k_2 - k_2^2 i)}{k^4} - i \frac{6\pi k_1 k_2 (k_2 k_r - k_2^2 j)}{k^4 \{k_1 k_2^4 + i(k_2^2 - k_2^2)\}} \quad (41)$$

$$P = [\frac{6\pi k_1}{k^2} + \frac{6\pi k_1 k_2^2}{k^2 \{k_1 k_2^4 + i(k_2^2 - k_2^2)\}}] \quad (42)$$

$$\Lambda = \frac{-i 6\pi k_1 k_2}{k_1 k_2^4 + i(k_2^2 - k_2^2)} \quad (43)$$

(11)

Q, P, Λ が決定されたから、 $\hat{q}, \hat{p}, \hat{\Lambda}$ は次の変換よりえらべる。

$$\begin{aligned}\hat{q} &= \frac{1}{8\pi^3} \int e^{ik \cdot \hat{r}} Q dk, & \hat{p} &= \frac{1}{8\pi^3} \int e^{ik \cdot \hat{r}} P dk, \\ \hat{\Lambda} &= \frac{1}{8\pi^3} \int e^{ik \cdot \hat{r}} \Lambda dk\end{aligned}\quad \left.\right\} (44)$$

(44) は (40) ~ (43) を代入して、 $k \ll 1, k \gg 1$ の性質を調べ

て、これらの解は境界条件 (37) を満足していいことを示す。

又 $r \rightarrow 0$ の $\hat{q}, \hat{p}, \hat{\Lambda}$ は次の形で

$$\begin{aligned}\hat{q} &\sim -\frac{3}{4} \left(\frac{1}{r} + \frac{x^2}{r^3} \right) \hat{r} - \frac{3}{4} \frac{\hat{x} \hat{g}}{r^3} \hat{g} - \frac{3}{4} \frac{\hat{x}^2}{r^3} \hat{t} \hat{h} + o(r) \\ a &= -\frac{i}{4\pi^2} \int \frac{k_1 k_2 (k_1 \hat{t} \hat{h} - \hat{k}^2 \hat{g})}{\hat{k}^4 \{ k_1 \hat{k}^4 + i(k_1^2 - \hat{k}^2) \}} dk = b \hat{r} \\ b &= \frac{3}{\pi} \int_0^\infty \int_0^1 t^2 \left[\left(\frac{k^6 t^2 + 1}{k^6 t^2 + t^4} \right)^{\frac{1}{4}} \cos \left\{ \frac{1}{2} \left(\tan^{-1} \frac{t}{k^3} - \tan^{-1} \frac{1}{k^3 t} \right) \right\} - 1 \right] dt dk \\ &= 0.1463\end{aligned}\quad \left.\right\} (45)$$

$$\hat{p} \sim -\frac{3}{2} \frac{\hat{x}}{r^3} + \text{const.} \quad (46)$$

$$\hat{\Lambda} \sim \frac{3}{4} \frac{\hat{g}}{r} + o(r) \quad (47)$$

$\hat{q}, \hat{p}, \hat{\Lambda}$ の $r \rightarrow 0$ の挙動が判明したので、今 inner expansion の第 1 近似をとることとする。

[II] inner expansion の第 1 近似

(45) の \hat{q} の a が $r \rightarrow \infty$ における \hat{q} と match するためには次の二つの条件から

$$\epsilon = \nu \quad (48)$$

$$\nu = (m+1)/3, \quad 0 < \nu < 1 \quad \text{とすると} \quad \lambda \propto r, \quad (18) \sim (20) \quad \text{は}$$

$$\Delta q_1 - \nabla p_1 = 0 \quad (49)$$

$$\nabla \cdot q_1 = 0 \quad (50)$$

$$q_{10} \cdot \nabla p_1 - v_0 = 0 \quad (51)$$

又境界条件は、(45)～(47) の 3

$$\left. \begin{array}{l} \text{at } r=1, \quad q_{11}=0; \quad \text{at } r \rightarrow \infty, \quad q_1 = \alpha^{\frac{1}{3}} b \pi, \quad p_1 = 0 \\ \quad P_1 = \frac{3}{4} \frac{q_1}{\infty} \end{array} \right\} (52)$$

(49) ~ (52) 代入

$$q_1 = \alpha^{\frac{1}{3}} b q_{10}, \quad p_1 = \alpha^{\frac{1}{3}} b p_0 \quad (53)$$

(iv) 球の抵抗

Stokes の流れ q_{10}, p_0 に対する抵抗の式、おおむね (14), (30), (48), (53) を用いて、抵抗 D は

$$\begin{aligned} D &= 6\pi \mu a V \left\{ 1 + b (\alpha R_e^{1+m})^{\frac{1}{3}} + \dots \right\} \\ &= 6\pi \mu a V \left\{ 1 + 0.1463 (BR_e)^{\frac{1}{3}} + \dots \right\} \quad (54) \end{aligned}$$

§ 5. 結論

$R_e \ll 1$ の場合は、 $B = g a^2 k / V^2 = \alpha R_e^m$ とおいて、
 $-1 < m < 2$ のときの解は、 $\nu \approx 1$ の場合、 $\nu \approx 2$ の場合、動かず、 $\nu \approx 3$ の場合、 $\nu \approx 1$ の場合

拡張式を得た。

第2、第3近似式求めたのは、同じ方法であります。
しかし“ ε ”が“ ε ”か、たゞ“ m ”の領域を ε に網分して取扱う必要
がある。

又 $m = 2$ の場合も、(31) で $V = 1$ とおって、全く同じよ;
は計算をするときは必ず ε と m を注意しなくては。

文 雜

- 1) S. Martin & R.R. Long : J.F.M. 31 (1968), 669
- 2) R.E. Kelly & L.G. Redekopp : J.F.M. 42 (1970), 497
- 3) M. Van Dyke : Perturbation Methods in Fluid Mechanics (Academic Press, 1964), 153
- 4) S. Childress : J.F.M. 20 (1964), 305